

## 변압기의 고장검출을 위한 유증 코로나 특성 연구

Transformer diagnosis using characteristics of corona in Oil

'89 추계 학술 발표회

89-10

권 대원  
곽 회로  
김 재철  
\*박 응상  
민규

한국전력 기술연구원  
충실대학교 전기공학과  
충실대학교 전기공학과  
충실대학교 전기공학과  
삼성 중전기(주)

### ABSTRACT

This paper presents research results on the use of a corona detector and a pulse counter in order to diagnose for oil transformers.

Using these experimental apparatus, tests were carried out on a typical transformer oil containing different carbonized paper and various moisture contents to measure the picocoulomb values and pulse count.

Through the result of this study it was found that the picocoulomb values and pulse count of corona were depended on the getting stained in transformer oil.

The amplitude of the partial discharge amount and the number of pulse were decreased up to 70 [°C] and then was increased as the oil temperature goes up.

It was concluded that the determination level for diagnosis of oil transformer was taken into account the temperature of transformer oil.

The use of pulse counter method, which have been taken the same property of voltage and temperature variation for the corona measurement method, considerably increase insulator availability.

### I. 서 론

최근 전력용 기기는 산업사회의 다변화에 맞추어 초고압화, 대용량화 추세로 되고 있으며, 절연기기의 사고로 사고 범위가 커지고 경제적으로 막대한 피해를 입게 되므로 사고의 복구를 위해 장시간 휴전이 소요되고 따라서 사고를 미연에 방지하기

위한 고 신뢰도 운전이 한층더 요구되고 있다.

그러므로 고 신뢰도 운전을 하기 위해 절연기기 예방진단이 더욱 중요하게 되었으며 이를 기기에서 발생하는 부분방전을 측정하고자 하는 연구가 세계 각국에서 꾸준히 진행되어 왔다.

일반적으로 대용량 변압기의 예방진단을 하는 방법에는 Corona 법, 유증 가스 분석법, 유증 수소가스 농도감시법, 누유감시법, 역률 및 수분측정법, 저압 써지법 등이 있으나 이들중 Corona 법이 특히 많이 연구되어 왔다.

Corona법에 의한 방전량의 측정은 1930년대 음극선관이 출현하면서부터 본격적으로 시작되었으며 근대에 이르러 방전량을 측정할 수 있는 각종 장비가 개발됨으로써 연구가 활발히 진행되고 있다.

1965년 P.N Fellow [1], R.B Kaufman [2], S. Yakov Cesi [3] 등의 연구에 의해 Corona 측정 가능성을 예고해 주었다. F.E Wherry [4]는 Corona 측정 시 전압과 전하의 특성을 연구하였고 Kawaguchi [5]는 EHV (Extra-High Voltage) 변압기를 이용하여 부분방전량을 검출하였다며 R.Bartnikas [6], Sulaiman [7]은 유증에서의 Corona 개시전압 및 오염된 변압기 유증에서의 부분방전량을 검출하여 이를의 변화특성을 연구하였다.

또한 D.A Nattrass [8]는 절연재료로서 사용되는 여러종류의 시료에 전압을 인가해서 부분방전량과 방전파형을 측정함으로서 변압기 예방진단에 카다란 공헌을 하였다.

최근까지의 논문을 보면 변압기 예방진단 측면에서 부분방전량을 측정 시 전압과 전하량과의 관계를 규명하는데 주종을 이루었으며 전압, 온도, 방전전하량, 펄스 (Pulse) 수를 측정하여 이를의 관계를 규명한 것은 거의 없었다. 따라서 본 연구에서는 계수기 (Pulse Counter), 증폭기 (Amplifier), 필터 (Filter)를 자체 제작하여 신유와 신유에 물을 첨가 (비율 1:2:3) 한 것 3종류,

신유에 탄화증이 를 험가 (비율 1:2:3) 한 것  
3 종류의 전압기 유를 사용해 침단의 족률변  
경을 일정하게 하고 부분방전 변화의 전압  
의 존성, 부분방전 변화의 온도의 존성, 펄스  
수 변화의 전압의 존성, 펄스 수 변화의 온  
도의 존성을 관찰하고 이들을 분석하여  
온도 예방진단에 기초적인 자료를 제시하고  
한다.

## 2. 실험 장치 및 방법

전계분포가 균일하지 않은 절연물에 전압  
을 인가했을 때 인가전압을 서서히 증가시키면  
전계가 집중된 부분에서 부분적으로 방  
전이 일어난다. 이와 마찬가지로 운전중  
인 변압기에서 Corona 가 발생하게 되면 어  
려가지 화학적 작용을 수반하여 고에너지  
전자나 이온, 수소 가스 등이 발생하여 장시  
간 사용 시 변압기 유의 절연내력에 상당한  
영향을 주므로 이를의 영향을 고려해야 한  
다.

유중의 Corona 개시전압은 유중에 포함되  
어 있는 불순물의 정도에 따라서 현저하게  
달라지는데 이 현상을 이용하여 유중의  
Corona 개시전압을 측정하여 절연유의 순도  
를 판정할 수 있으며 이는 대단히 중요하다  
운전중인 변압기에서 Corona 존성을 전기  
적 측정법과 음향 측정법이 있는데 전기적  
측정법은 Corona 발생 지점을 알 수 없지만  
부분방전량의 크기를 측정할 수 있는 가장  
효과적인 방법이다.

측정원리는 운전중인 변압기에서 Corona  
가 발생하게 되면 그림 1과 같은 방전전류  
가 흐르는데 이 방전전류와 외부에서 유입  
되는 노이즈 (Noise) 를 분리시키기 위해  
필터 (Filter) 를 사용한다.

그러나 어과된 방전전류의 크기가 극히  
미약하므로 이 방전전류를 증폭시켜 방전전  
하향을 디지털 (Digital)화 하여 숫자로  
알아볼 수 있도록 하였고 방전 파형은 Hip-  
otronics 사의 오실로스코프를 통해 화면상  
으로 측정하며, 계수기 (Pulse Counter) 를  
사용하여 방전펄스를 측정할 수 있다.

또한 그림 2 와 같은 방법으로 식 (1) 에  
의해서 방전펄스를 계산할 수 있다.

$$\begin{aligned} N &= N^{\circ} \left( \frac{W}{2\pi} \right) U ( E_a - E_b ) + \\ &\quad N^{\circ} \left( \frac{W}{2\pi} \right) U ( E_a - 2E_b ) + \\ &\quad N^{\circ} \left( \frac{W}{2\pi} \right) U ( E_a - 3E_b ) + \\ &= N^{\circ} \left( \frac{W}{2\pi} \right) \sum_{m=0}^{\infty} U [ E_a - (m+1) E_b ] \end{aligned} \quad (1)$$

여기서  $m : 0, 1, 2, \dots, i$

$N$  : 1 초당 방전수

$W$  : 라디안으로 나타낸 주파수

$N^{\circ}$  : 1 사이클당 초기 방전수

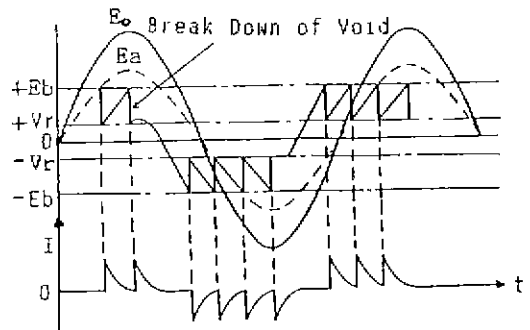


그림 1. 절연체 보이드 (Void) 절연파괴  
전압과 부분방전 파형

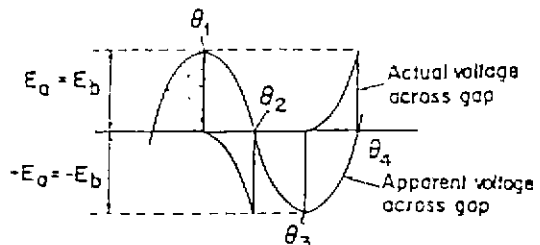
여기서  $E_a$  : 인가 전압

$E_b$  : Void에 걸리는 전압

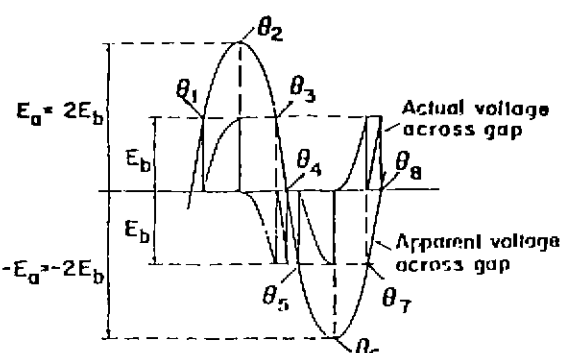
$E_b$  : Void 방전 전압

$V_r$  : Void에 잔류하는 전압

$I$  : 부분방전 발생시 흐르는 전류



(a)  $R_a = E_b$ 의 경우



(b)  $R_a = 2E_b$ 의 경우

그림 2. 이상적인 보이드 (Void) 의  
방전파형

## 2-1. 실험장치 구성

Corona의 크기를 측정하기 위한 실험장치 구성은 고압발생 및 결합 캐퍼시터 (Coupling Capacitor), 모의 실험장치, 필터 (Filter), 증폭기 (Amplifier), 전기신호장치, 계수기 (Pulse Counter)로 되어 있으며 그 개략도는 그림 3과 같다.

고압발생 및 결합 캐퍼시터, 전기신호측정장치는 Hipotronics사의 Corona 측정장치인 모델 No 750 - 5CF 와 CDO - 77A1을 이용하였다.

모의 실험장치는 Corona 발생을 위한 전극으로서 침대 평판전극, 변압기 Oil, 온도계, 히터를 사용하였다.

침전극은 핸드드릴과 센드페인퍼 및 광학현미경을 사용하여 침단의 균률반경을 7 [ $\mu\text{m}$ ]로 만들었으며 평판전극은 직경 42.02 [mm], 두께 0.3 [mm]의 원통형 전극으로 하였다.

침대 평판전극의 간격은 조정 가능하도록 되어 있으며 Oil의 온도를 변화시킬 수 있도록 히터를 설치하고 온도계로서 Oil의 온도를 측정하였다.

필터는 Corona로 인해 발생하는 펄스와 외부에서 유입되는 잡음 신호를 구별하도록

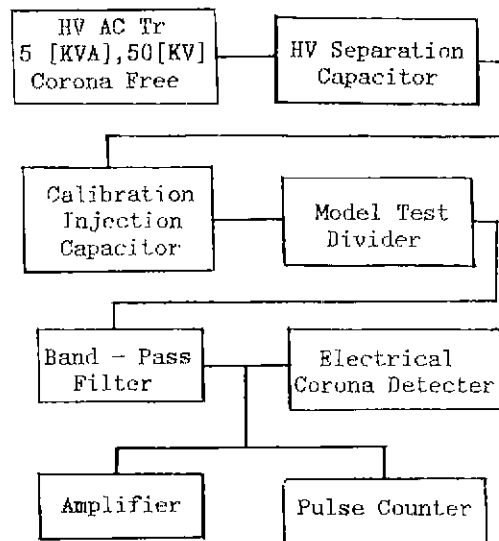
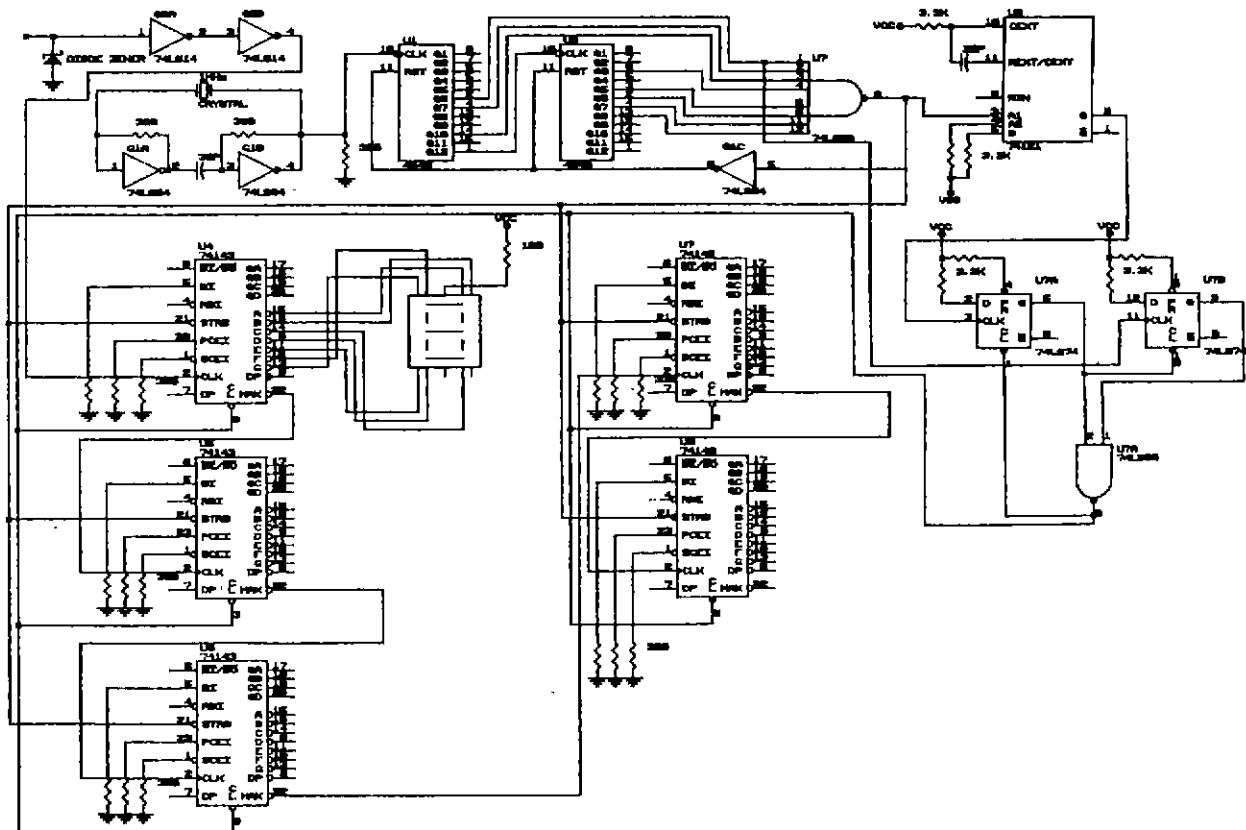


그림3. Corona 크기 측정장치의 개략도



민들었다. 또한 필터는 양호한 전달특성과 안정도가 우수한 But - terworth 대역통과 필터로서 OP Amp μA 301 소자로 구성된 능동 필터이다.

저대역 필터는 차단 주파수가 200 [kHz]이고 -40 [dB/decade] 성능을 갖고 있으나 고대역 필터는 차단 주파수가 50 [kHz]이고, -60 [dB/decade] 성능을 갖도록 만들었다.

본 연구에서 증폭기는 LF 351 OP Amp 소자를 사용하여 5 단 증폭한 전압 Follower형으로 100 배까지 증폭되도록 제작하였다. 계주기는 그림 4와 같이 측정하고자 하는 Corona 필스가 극히 미소한 신호이므로 충분히 증폭시킨 후, 신호 파형을 정형시켜 고 1 [MHz] 주정밀 진자를 사용하여 발진시킨 후 이 신호를 1 [Hz] 까지 분주시켰으며 기준시간이 정확히 1 초가 되도록 제작하였다.

### 3. 실험 및 결과검토

본 연구에서는 Corona 를 일으키는 물질을 장치에 고정함을 인가하여 부분방전량을 측정하고 방전필스 수를 계수하였다.

Corona 가 침전극에서만 발생되는 것을 확인하기 위해 고전압 단자에 침전선단을 연결하지 않은 상태로 20 [kV] 까지 전압을 인가해 Corona 가 발생하지 않음을 확인한 후 온도를 30, 50, 70, 90 [°C] 의 4 단계로 유지해 약 30 분 후 실험하였다.

시료로는 신유 1600 [ml] 외 신유에 물 0.5, 1, 1.5 [cc] 및 신유에 탄화증이 0.1, 0.067, 0.033 [mg] 을 첨가하여 실험하였다.

#### 3-1. 부분방전량 변화의 전압의존성

침단의 곡률반경을 7 [ $\mu\text{m}$ ], 온도를 30 [ $^{\circ}\text{C}$ ] 로 고정시키고 침대 평판 간격을 1 [cm] 로 하여 신유와 신유에 물을 첨가한 비율 (1:2:3) 의 3 종류와 신유에 탄화증이 첨가한 비율 (1:2:3) 의 3 종류에 대하여

부분방전량을 측정한 것으로 그 결과를 그림 5 에 나타내었다.

그림에 나타난 바와 같이 같은 전압에서 물을 첨가한 것의 방전량이 크게 나타나 사실상 물이 탄화증이보다 절연내력에 더욱 큰 영향을 미친다는 것을 알 수 있었다.

#### 3-2. 필스 수 변화의 전압의존성

이 실험은 3-1과 같은 방법으로서 동일한 전압을 인가했을 때 계수기를 사용하여 Corona 필스 수를 측정한 것으로 그 결과를 그림 6. 에 나타내었다.

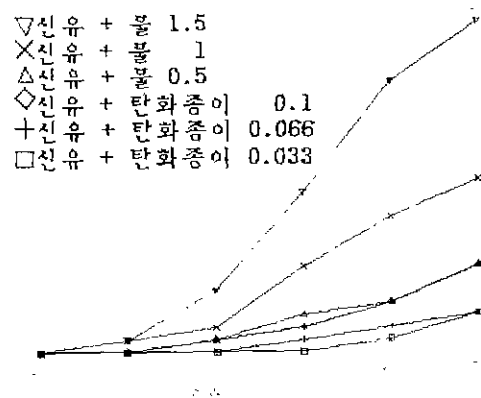


그림 5. 부분방전량 변화의 전압의존성

시료가 신유일 경우 신유에 전압을 10 [kV] 까지 인가해도 거의 방전필스 수는 관측되지 않았다. 그리고 신유에 물과 탄화증이 첨가된 시료의 경우 첨가된 유량의 증가에 따라 방전필스 수가 증가하는데 이는 3-1 과 같은 현상으로 생각되며 앞으로 방전필스 수에 대한 영향도를 관찰할 수 있는 수로써 사용될 수 있으리라 생각된다.

#### 3-3. 부분방전량 변화의 온도의존성

침단의 곡률반경을 7 [ $\mu\text{m}$ ], 침단 간격을 1 [cm], 인가전압을 9 [kV], 온도를 30, 50, 70, 90 [ $^{\circ}\text{C}$ ] 로 하여 부분방전량을 측정한 것으로서 방전량의 변화는 온도가 증가할수록 방전량이 감소하다가 70 [ $^{\circ}\text{C}$ ] 부근에서 기장 적은 값이 되었고 점차 온도를 증가하면 다시 커지는 현상을 볼 수 있는데 그 결과를 그림 7 에 나타내었다.

온도상승과 더불어 부분방전량이 감소하거나 증가하는 이유는 명확하지 않으나 전유의 수분, 가스등의 용해도가 온도에 따라 변화하고 그온에서 용해되는 불순물이

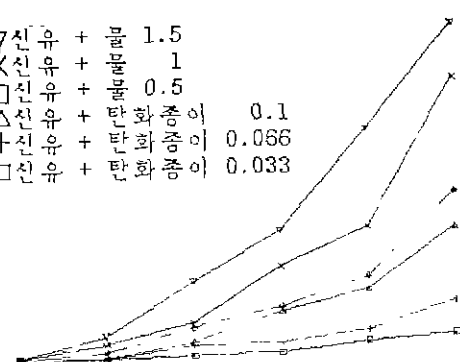


그림 6. 방전필스 수 변화의 전압의존성

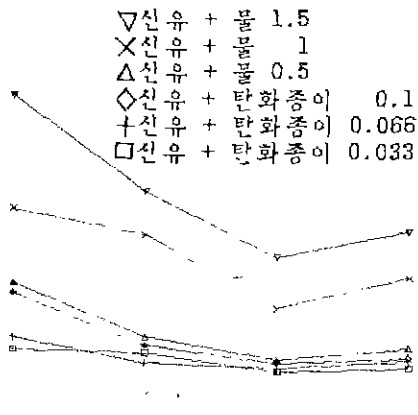


그림 7. 부분방전량 변화의 온도의존성

있을 경우 이들이 용해되기 때문으로 생각된다. 따라서 부분방전량의 기준치를 설정할 경우 반드시 온도의 영향을 고려해야 할 것이다.

#### 3-4. 펄스 수 변화의 온도의존성

이 실험은 3-3과 같은 방법으로서 동일한 선압을 인가했을 때 계수기를 사용하여 부분방전 펄스 수를 측정한 것으로 그 결과를 그림 8에 나타내었다.

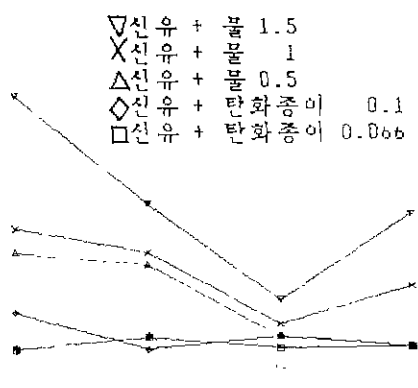


그림 8. 펄스 수 변화의 온도의존성

그림에 나타난 바와 같이 온도가 증가함에 따라 펄스 수가 감소하다가 70 [°C] 이상에서 펄스 수가 증가하는 현상은 3-3에서 설명한 이유때문으로 생각된다.

#### 4. 결론

본 연구에서는 신유와 신유에 물 또는 탄화증이를 첨가한 시료들을 사용하여 부분방전량 변화의 전압 및 온도의존성, 펄스 수 변화의 전압 및 온도의존성을 검토한 결과 다음과 같은 결론을 얻었다.

- 1) 전압상승에 따른 방전량의 크기는 신유 < 신유 + 탄화증이 0.033 [mg] < 신유 + 탄화증이 0.066 [mg] < 신유 + 탄화증이 0.1 [mg] < 신유 + 물 0.5 [cc] < 신유 + 물 1 [cc] < 신유 + 물 1.5 [cc] 순으로 나타났으며 물이나 탄화증이들의 첨가량이 증가하면 부분방전량 및 펄스 수가 증가함을 알 수 있었다.
- 2) 온도 상승에 따른 부분방전량과 펄스 수는 온도 증가시 방전량은 감소하다가 70 [°C] 때 최소치에 도달하고 온도가 70 [°C] 이상이 되면 오히려 증가함을 알 수 있었다. 따라서 부분방전량의 기준치를 설정시 온도를 중요한 변수로 고려하여야 할 것이다.
- 3) 전압 및 온도 상승에 따른 부분방전량의 변화 특성과 펄스 수 변화 특성은 유사하므로 절연물의 열화 정도를 판정하는 요소로서 펄스 수는 유용하리라고 생각된다.
- 4) 계수기 (Pulse Counter) 를 Corona 위치 측정에 결합시켜 시간을 두고 계속 측정하면 부분방전의 진행상태를 파악할 수 있어 변압기 고장 진출 진단 지표의 하나로 이용할 수 있으리라 생각된다.

#### 참고문헌

- [1] P.N. Fellow  
"Transformer Corona Measurement Using Condenser Bushing Tap and Resonant Measuring Circuits" IEEE Trans. Committee, New York, pp. 652-657, Aug 1965.
- [2] J.R. Meador, R.B. Kaufman,  
"Transformer Corona Testing" IEEE Trans. Committee, New York, pp. 893-900, August 1966.
- [3] S.C. Enel and S.Yakov. Cesi  
"Switching Surge Response of Transformer Insulation Designed on The Basis of Power Frequency PD Inception Volt - Time Curves" IEEE Trans. Power Apparatus and Systems, Vol. PAS-100, No. 7, pp 3263 - 3273, July 1981.
- [4] F.E. Wherry, L.R. Tothman  
"The Significance of Corona Measurements on Transformers" IEEE Trans. Power

Apparatus and System. Vol PAS-87, No 11.  
pp.1889 - 1898, November 1968.

[5] Y.K. Member et al

" Partial - Discharge Measurement on  
High - Voltage Power Transformers " IEEE  
Trans. Power Apparatus and Systems Vol.  
PAS-88, No 8. 1187-1194, August 1969.

[6] R.Bartnikans

" Corona Discharge Processes in Voids "  
ASTM D-9, pp. 22-67. February 1979.

[7] A.A. El-Sulaiman and M.I. Qureshi

" Quasi - steady and Burst Current in  
Aged Transformer Oil Under High Direct  
Field " IEEE Trans. Elect. Vol. EI-16,  
No 5. pp 453- 457, October 1981.

[8] D.A/ Nattrass

" Partial Discharge Measurement and  
Interpr- etation " IEEE Elect Insulation  
Magazine, Vol. 4. No 3. pp. 10-23,  
May/June 1988.